

In carrying out scientific work chosen method of calculating the operating parameters of the improved packer. Selected design and operating parameters are calculated packer. Completed assembly drawing developed by the packer. A technology for pumping fluid downhole hydraulic pump with packer developed.

Key words: *hydraulic packer, hydraulic pump, borehole.*

Литература

1. Казак А. С. Погружные поршневые бесштанговые насосы с гидроприводом. – Л.: Гостоптехиздат, 1961. – 320 с.
2. Неудачин Г. И., Пилипец В. И. Погружной бесштанговый насос для подъема воды из буровых скважин // Гидротехника и мелиорация». – 1981 – № 7.
3. Пилипец В. И. Насосы для подъема жидкости. Учебное пособие с грифом Минвуза. -Донецк: 2000. – 244 с.

Поступила 01.07.11

УДК 622.24.051.64

**А. А. Каракозов¹, канд. техн. наук, М. С. Попова¹, инж.,
Р. К. Богданов², А. П. Закора², кандидаты технических наук**

¹ Донецкий национальный технический университет, г. Донецк, Украина

² Институт сверхтвёрдых материалов им. В.Н. Бакуля НАН Украины, г. Киев

О ПРОЦЕССЕ ВЗАИМОДЕЙСТВИЯ АЛМАЗОВ С ЗАБОЕМ СКВАЖИНЫ ПРИ РАБОТЕ ОДНОСЛОЙНЫХ КОРОНОК

В статье рассмотрены вопросы уточнения модели взаимодействия алмазных резцов с забоем скважины при эксплуатации однослойных алмазных буровых коронок.

Ключевые слова: алмазные однослойные коронки, взаимодействие с забоем скважины.

Потребность в новых эффективных средствах бурения геологоразведочных скважин наряду с успехами в области синтеза крупных алмазных монокристаллов для армирования однослойных алмазных коронок обусловили необходимость дальнейшего развития научных основ разработки конструкций и технологий применения породоразрушающего инструмента.

Использование крупных синтетических алмазов в качестве породоразрушающих элементов однослойных коронок позволяет рассчитывать на интенсификацию процесса разрушения породы на забое и увеличение механической скорости бурения. Однако при этом возрастают требования к точности расчётных моделей, в частности, взаимодействия алмазов с забоем, что необходимо для оценки прочностных характеристик алмазных резцов при форсированных режимах работы.

При прочих равных условиях наибольшую опасность для алмазного резца представляют изгибающие напряжения, величина которых зависит о глубины внедрения алмаза. В настоящее время расчёт глубины внедрения алмаза сводится к следующему [1-4]. Предполагая симметричное распределение нагрузки на все сектора коронки, определяется усилие, действующее на один сектор:

$$P_c = \frac{P_{oc}}{N_c}, \quad (1)$$

где P_{oc} – осевая нагрузка на коронку; N_c – количество секторов.

Тогда на один алмаз в секторе будет действовать усилие:

$$P_a = \frac{P_c}{n_a} = \frac{P_{oc}}{N_c n_a}, \quad (2)$$

где n_a – количество алмазов в одном секторе.

Под действием усилия P_a все алмазы внедряются на одинаковую величину:

$$h_a = \frac{P_a}{P_{um} \pi R} = \frac{P_c}{P_{um} \pi R n_a}, \quad (3)$$

где h_a – глубина внедрения алмаза в породу; P_{um} – твердость породы по штампу.

При этом глубина разрушения породы h_p определяется величиной h_a :

$$h_p = \frac{k_p k_a P_a}{P_{um} \pi R} = k_p k_a h_a, \quad (4)$$

где k_p и k_a – коэффициенты разрушения горной породы и формы алмаза.

Однако эта модель не учитывает особенностей работы алмазных резцов при движении коронки на забое как единой системы, что может оказать влияние на их взаимодействие с забоем и нарушить симметричное распределение внедрения алмазов в породу в процессе бурения.

Целью статьи является установление характера взаимодействия алмазных резцов с забоем при их движении и определение максимальной величины внедрения алмазов в горную породу в зависимости от конструктивных особенностей коронки, в частности, от схемы размещения алмазов по торцу матрицы.

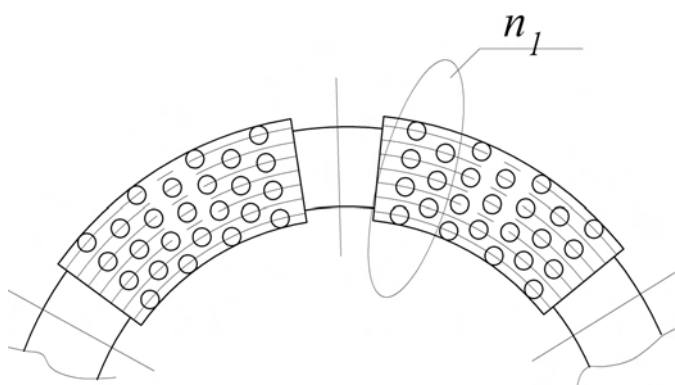


Рис. 1 – Схема размещения алмазов в матрице: n_1 – количество алмазов в первых двух радиальных рядах

В однослойных коронках алмазы по торцу матрицы располагаются в один слой по определенной схеме. Схема размещения торцевых алмазов выбирается в зависимости от размеров используемых алмазов, конфигурации промывочных окон и т.д. Рассмотрим коронку с радиальным расположением алмазов по торцу матрицы (рис. 1), схема размещения которых рассчитывается по методике Н.В. Цыпина [5]. При этом предполагается такой режим работы, при котором области, образуемые зонами внедрения алмазов разных линий резания, не перекрывают друг друга, а, в крайнем случае, только лишь соприкасаются. Это типичная ситуация при работе алмазной коронки, подтверждаемая экспериментальными

данными [1]. При рассмотрении работы коронки также будем использовать понятие рабочего ряда алмазов – минимальной совокупности радиальных рядов, считая от переднего торца сектора, алмазы в которых перекрывают все линии резания. Например, для схемы на рис. 1 первый рабочий ряд – это 1-й и 2-й радиальные ряды, второй рабочий ряд – это 3-й и 4-й радиальные ряды и т.д.

На рис. 2 показана схема взаимодействия алмазов периферийной линии резания с горной породой. При начале движения (рис. 2 а), обусловленного вращением коронки, алмазы под действием осевой нагрузки внедряются в породу на величину h_a , определяемую по формуле (3).

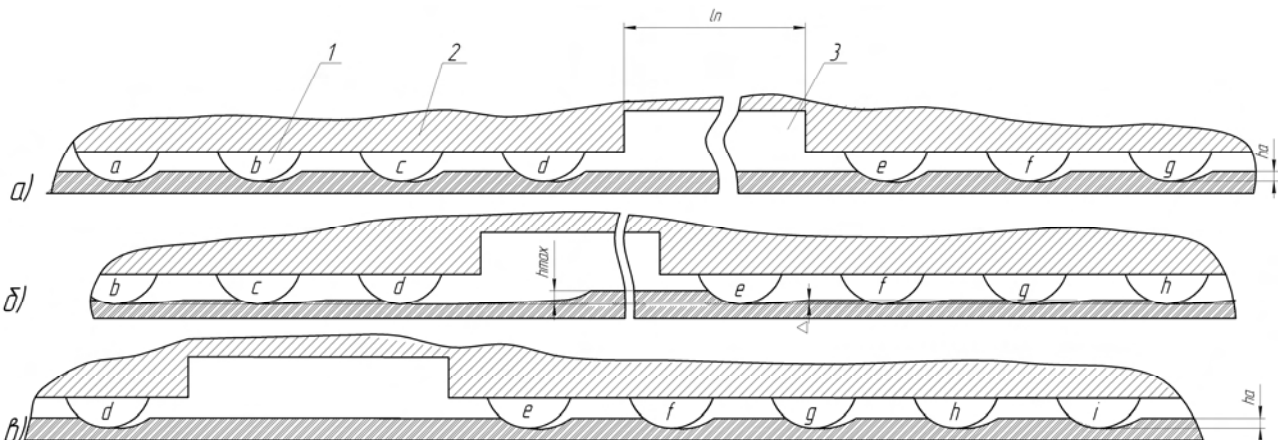


Рис. 2. Схема взаимодействия алмазов с горной породой: 1 – алмаз; 2 – матрица; 3 – промывочное окно; l_n – длина промывочного окна

Когда коронка повернётся на угол, при котором второй и последующие алмазы в линии резания переместятся на место предыдущих, то лобовое сопротивление с алмазов (кроме первого и второго радиальных рядов в секторе) снимется (рис. 2, б). Это означает, что фактически происходит перераспределение сил сопротивления, действующих на алмазы. Тогда под действием осевой нагрузки произойдет углубка всех алмазов на величину Δ , которую можно найти из условия неизменности площади внедрения всех алмазов в породу, обусловленного постоянством осевой нагрузки на забой:

$$\pi R(h_a + \Delta)n_1 + \pi R\Delta(n_a - n_1) = \pi Rn_a h_a, \quad (5)$$

где R – радиус алмаза; n_1 – количество алмазов в первом рабочем ряду (равно количеству алмазов в первом и втором радиальном рядах, см. рис. 1).

Преобразуя (5), получим

$$h_a n_1 + \Delta n_1 + \Delta n_a - \Delta n_1 = n_a h_a,$$

откуда

$$\Delta = \left(1 - \frac{n_1}{n_a}\right)h_a, \quad (6)$$

или

$$\Delta = (1 - k_n)h_a, \quad (7)$$

где $k_n = n_1/n_a$ – отношение количества алмазов в первом рабочем ряду к общему количеству алмазов в секторе.

При этом алмазы первого рабочего ряда внедряются на максимально возможную для алмаза величину h_{\max} (рис. 2 б):

$$h_{\max} = h_a + \Delta = h_a + \frac{n_a - n_1}{n_a}h_a$$

$$h_{\max} = h_a \left(\frac{n_a - n_1}{n_a} + 1 \right) = h_a \left(1 - \frac{n_1}{n_a} + 1 \right).$$

Отсюда

$$h_{\max} = h_a \left(2 - \frac{n_1}{n_a} \right) = h_a (2 - k_n). \quad (8)$$

Из формулы (8) видно, что величина h_{\max} может значительно превышать величину h_a , рассчитанную по формуле (3), при этом, чем меньше алмазов в первом рабочем ряду, тем максимальная глубина внедрения алмазов больше.

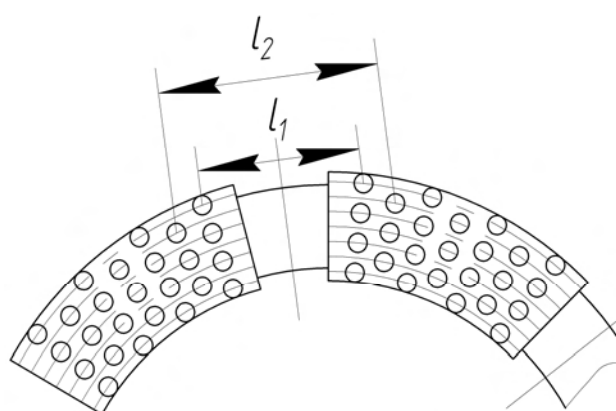


Рис. 3. Вид торца коронки с одинаковым количеством алмазов в первом и последнем радиальных рядах

количество алмазов в первом радиальном ряду сектора равно количеству алмазов в последнем ряду (рис. 3). При этом алмазы второго радиального ряда (их количество – n_{12}), проходя через область промывочных

алмазы первого рабочего ряда остаются внедрёнными в породу на величину h_{\max} , которая не меняется при прохождении ими области, находящейся в начальный момент под промывочными окнами, т.е. пока алмаз e не переместится на место, которое в начальном положении занимал алмаз d (см. рис. 2 а). После этого сопротивление горной породы по передней поверхности алмазов выравнивается, и они все опять углубляются в породу на глубину h_a (рис. 2 в).

Представленный случай справедлив для коронки, у которой количество алмазов в первом радиальном ряду сектора (n_{11}) больше, чем в последнем.

Однако в коронках может использоваться и такая схема раскладки алмазов, в которой

окон, в нагруженном состоянии преодолевают расстояние большее, чем алмазы первого радиального ряда ($l_2 > l_1$), поэтому в определенный момент времени они будут нагружены больше остальных.

Рассмотрим схему работы алмазов в этом случае (рис. 4).

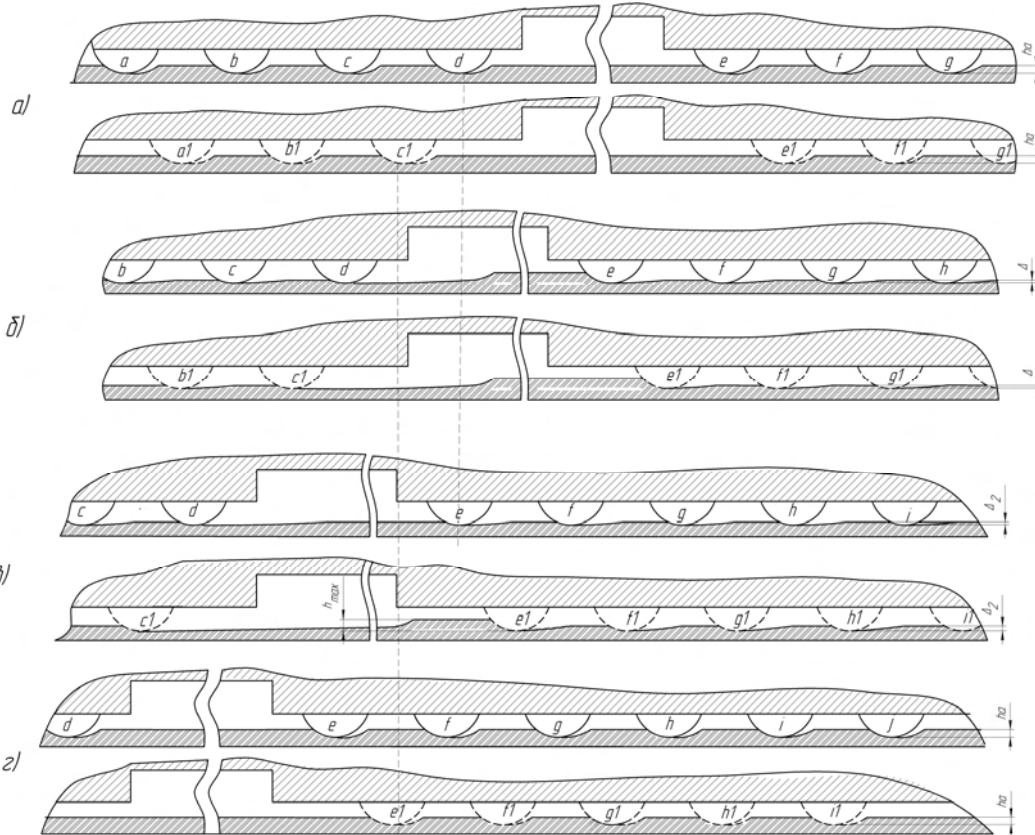


Рис. 4. Схема взаимодействия алмазов с горной породой (количество алмазов в первом и последнем радиальных рядах сектора равны)

В начальный момент движения коронки алмазы первой (a, b, c, d, e, f и т.д.) и второй ($a_1, b_1, c_1, d_1, e_1, f_1$ и т.д.) линий резания, как и в предыдущем случае, углубляются на одинаковую величину h_a (рис. 4 а). В момент, когда алмазы третьего и последующих радиальных рядов переместятся на место размещенных впереди, сопротивление их движению уменьшится, и все алмазы дополнительно углубляются в породу на глубину Δ . Однако, при этом силы сопротивления движению увеличиваются на первые два радиальных ряда (см. рис. 4 б, алмазы e и e_1). Так будет продолжаться до тех пор, пока алмаз e не переместится на первоначальное место алмаза d . Сопротивление алмазам первого радиального ряда уменьшится, и все алмазы снова смогут углубиться на величину Δ_2 , при этом алмаз e_1 , как и все алмазы второго радиального ряда, будет испытывать максимальное сопротивление, а глубина его внедрения в породу будет составлять h_{\max} (рис. 4в). Когда алмаз e_1 станет на место алмаза c_1 , сопротивление на всех алмазах уменьшится, и они снова углубятся на величину h_a (рис. 4 г).

В этом случае:

$$\pi R \Delta_2 n_{11} + \pi R (h_a + \Delta + \Delta_2) n_{12} + \pi R (\Delta + \Delta_2) (n_a - n_{12} - n_{11}) = \pi R n_a h_a$$

или

$$n_{12} h_a + n_a \Delta - n_{11} \Delta + n_a \Delta_2 = n_a h_a.$$

Отсюда

$$\Delta_2 = \frac{h_a (n_a - n_{12}) - \Delta (n_a - n_{11})}{n_a}, \quad (9)$$

где величины n_{11} и n_{12} определяются в зависимости от числа линий резания: при чётном количестве линий резания $n_{11}=n_{12}=n_l/2$, а при нечётном количестве – $n_{11}=(n_l+1)/2$ и $n_{12}=(n_l-1)/2$.

Для иллюстрации полученных результатов проведены расчёты для однослойных алмазных коронок диаметром 59, 76 и 93 мм, армированных алмазами диаметром 1,5 мм (крупность 32 шт./карат). Параметры коронок рассчитаны по методике Н.В. Цыпина. Расчёты проведены для пород VI и IX категорий по буримости, соответствующих границам диапазона использования разрабатываемых коронок. При этом значение осевой нагрузки принималось по рекомендациям для серийных алмазных коронок. Результаты расчетов для коронок, в которых количество алмазов в первом и последнем радиальных рядах сектора равны (см. рис. 4), приведены в табл. 1.

Таблица 1. Результаты расчёта глубины внедрения алмазов в породу

Диаметр коронки, мм	Количество секторов коронки	Количество алмазов в секторе	Количество алмазов в рабочем ряду, n_1	Категория пород по буримости	Нагрузка на алмаз P_a , Н	$h_a, 10^{-5}$ м	$\Delta, 10^{-5}$ м	$\Delta_2, 10^{-5}$ м	$h_{max}, 10^{-5}$ м	$h_a/h_{max}, \%$
59	6	25	7	VI	33,3	1,01	0,73	0,28	2,03	50,12
				IX	53,3	0,59	0,43	0,16	1,2	
76	8	28	6	VI	26	0,81	0,58	0,22	1,63	50,25
				IX	53,6	0,62	0,43	0,16	1,2	
93	10	32	8	VI	25	0,76	0,54	0,2	1,52	50,31
				IX	46,8	0,52	0,37	0,14	1,05	

Из таблицы видно, что алмазы первого радиального ряда могут быть нагружены почти в два раза больше остальных, и, следовательно, они определяют прочностные свойства алмазного сырья, используемого в коронке. К тому же эти алмазы подвергаются наибольшему износу при работе коронки. В то же время, остальные алмазы работают в более щадящем режиме, поскольку никогда не бывают нагруженными так, как алмазы первого рабочего ряда.

С целью снижения сил сопротивления, действующих на алмазы первого рабочего ряда, были рассмотрены некоторые варианты раскладки алмазов в торце сектора.

Рассмотрим случай, когда в первом рабочем ряду используются более крупные алмазы (рис. 5). Тогда глубина внедрения алмазов h_{a1} может быть найдена из условия

$$\pi R_1 h_{a1} n_1 + \pi R h_{a1} (n_a - n_1) = \pi R h_a n_a,$$

где R_1 – радиус алмазов, находящихся в первом и втором радиальных рядах ($R_1 > R$); R – радиус алмазов последующих рядов.

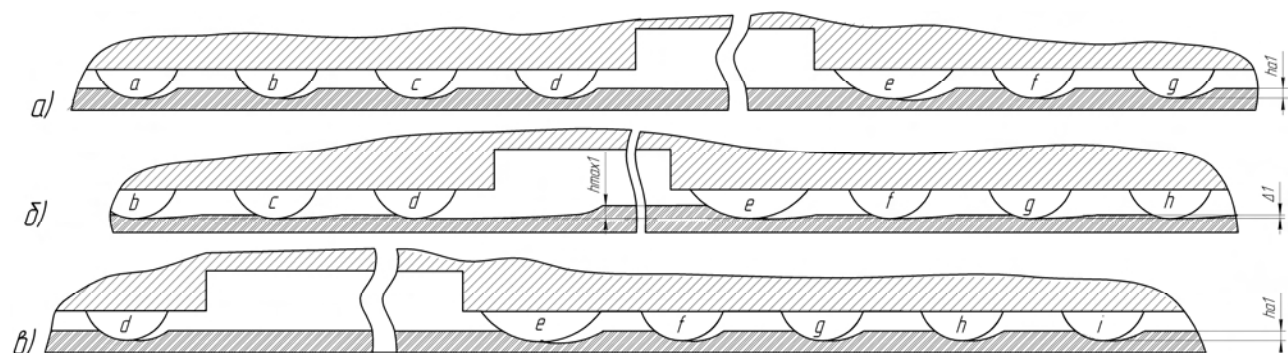


Рис. 5. Схема взаимодействия алмазов с горной породой в случае, если в первом рабочем ряду используются алмазы большего диаметра

Преобразуя, получим:

$$h_{a1} = h_a \frac{n_a}{n_a + n_1(R_1/R - 1)} \quad (10)$$

$$h_{a1} = h_a \frac{n_a}{n_a + n_1(k_R - 1)} \quad (11)$$

$$h_{a1} = \frac{h_a}{1 + k_n(k_R - 1)} \quad (12)$$

$$h_{a1} = h_a / k_h \quad (13)$$

где $k_R = R_1/R$

$$k_h = 1 + k_n(k_R - 1)$$

При движении коронки наступит момент, когда силы сопротивления, действующие на алмазы, следующие за первым рабочим рядом, уменьшатся (рис. 5б). Под действием осевой нагрузки произойдет углубка всех алмазов на величину Δ_1 . Из условия неизменности площади внедрения алмазов имеем:

$$\pi R_1(h_{a1} + \Delta_1)n_1 + \pi R\Delta_1(n_a - n_1) = \pi Rn_a h_a.$$

Отсюда

$$\Delta_1 = h_a \frac{n_a - n_1 k_R k_h}{n_a + n_1(k_R - 1)}. \quad (14)$$

Также как и в рассмотренном ранее случае, алмазы первого и второго радиальных рядов секторов коронки внедряются в породу на глубину h_{max1} (рис. 5б):

$$h_{max1} = h_{a1} + \Delta_1 = h_a k_h + h_a \frac{n_a - n_1 k_R k_h}{n_a + n_1(k_R - 1)} = h_a \left(k_h + \frac{n_a - n_1 k_R k_h}{n_a + n_1(k_R - 1)} \right) \text{ или}$$

$$h_{max1} = h_a \frac{2n_a - n_1 k_R k_h}{n_a + n_1(k_R - 1)} \quad (15)$$

В формулах (14) и (15) $k_R > 1$ и $k_h > 1$. Следовательно, глубина внедрения в породу алмазов первого рабочего ряда будет меньше, чем при использовании одинаковых алмазов. Кроме того, более крупные алмазы при прочих равных условиях будут более прочными, что позволяет оптимизировать раскладку алмазов с точки зрения действующих на них нагрузок.

Следует заметить, что при $k_R=1$ и $k_h=1$ формулы (14) и (15) преобразуются в соотношения (7) и (8) соответственно.

Рассмотрим второй случай, когда алмазы первого рабочего ряда имеют меньший выпуск из матрицы по сравнению с остальными на величину x (рис. 6).

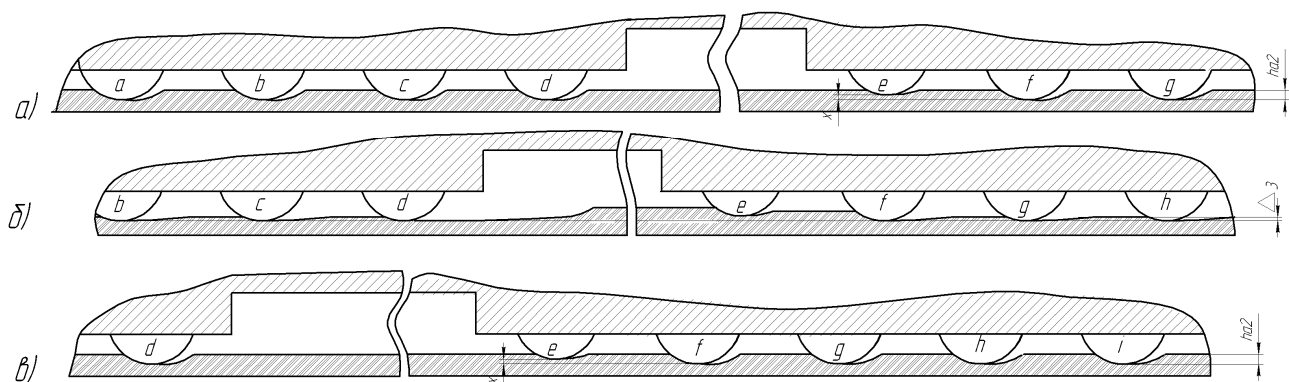


Рис. 6. Схема взаимодействия алмазов с горной породой при использовании в первом рабочем ряду сектора алмазов с меньшим выпуском

Тогда глубина внедрения алмазов h_{a2} может быть найдена из условия:

$$\pi R(h_{a2} - x)n_1 + \pi Rh_{a2}(n_a - n_1) = \pi Rh_a n_a.$$

Преобразуя, получим:

$$h_{a2} = h_a + \frac{n_1}{n_a}x = h_a + k_n x. \quad (16)$$

Когда коронка повернётся таким образом, что алмазы второго и следующих рабочих рядов окажутся на месте предыдущих рядов, то сопротивление алмазам третьего и последующих рабочих рядов резко уменьшится. Поэтому под действием осевой нагрузки произойдет дополнительная углубка всех алмазов на величину Δ_3 . В результате алмазы второго рабочего ряда углубляются на величину $x + \Delta_3$, в то время как алмазы первого рабочего ряда будут иметь углубку равную $h_{a2} - x + \Delta_3$. Величину Δ_3 также можно найти из условия неизменности площади внедрения алмазов:

$$\pi R(h_{a2} - x + \Delta_3)n_1 + \pi R(x + \Delta_3)n_2 + \pi R\Delta_3(n_a - n_1 - n_2) = \pi Rh_a n_a,$$

где n_2 – количество алмазов во втором рабочем ряду.

Отсюда

$$\Delta_3 = \frac{h_a n_a - n_1 h_{a2} + n_1 x - n_2 x}{n_a}. \quad (17)$$

Учитывая, что $n_1 = n_2$ получим:

$$\Delta_3 = \frac{h_a n_a - n_1 h_{a2}}{n_a}. \quad (18)$$

или

$$\Delta_3 = h_a - \frac{n_1}{n_a}h_{a2} = h_a - k_n h_{a2}. \quad (19)$$

По полученным формулам были произведены расчёты для тех же коронок с алмазами крупностью 32 шт/карат. Более крупные алмазы первого рабочего ряда принимались диаметром 1,8 мм ($R_l=0,0009$; $k_R=1,2$). Величина x условно принималась в пределах 0,17-0,33 мм. Результаты расчётов приведены в табл. 2.

Таблица 2. Результаты расчёта глубины внедрения алмазов в породу для модифицированных раскладок алмазов

Диаметр коронки, мм	Количество секторов коронки	Количество алмазов в секторе	Количество алмазов в рабочем ряду, n_l	Категория пород по буримости	Нагрузка на алмаз P_{a2} , Н	$h_{maxl}, 10^{-5}$ м (рис. 5)	$x, 10^{-5}$ м (рис. 6)	$h_{a2}, 10^{-5}$ м (рис. 6)	$\Delta_3, 10^{-5}$ м (рис. 6)
59	6	25	7	VI	33,3	1,62	0,33	1,11	0,7
				IX	53,3	0,95	0,2	0,65	0,41
76	8	28	6	VI	26	1,3	0,27	0,89	0,56
				IX	53,6	0,95	0,2	0,65	0,48
93	10	32	8	VI	25	1,21	0,25	0,83	0,55
				IX	46,8	0,83	0,17	0,57	0,38

Как видно из табл. 2, максимальная углубка алмазов первого, а для последнего случая и второго, рабочих рядов для модифицированных коронок будет меньше (не менее чем на 30%), чем для исходной коронки.

Выводы

Анализ работы алмазных резцов однослойных коронок и выполненные расчеты показывают, что при бурении алмазы первого рабочего ряда сектора коронки испытывают сопротивление вдвое большее, чем остальные алмазы. Для уравновешивания сил сопротивления на эти алмазы необходимо применение в первом рабочем ряду каждого сектора более крупных алмазов, установленных с одинаковым выпуском, или же уменьшать выпуск используемых в коронке алмазов одинакового размера для первого рабочего ряда. Кроме того, возможен вариант оснащения первого рабочего ряда более прочными алмазами по сравнению с остальными. Все это даст возможность обеспечить более равномерное нагружение и уменьшить износ алмазных резцов в процессе бурения.

У статті розглянуті питання уточнення моделі взаємодії алмазних різців з вибоєм свердловини при експлуатації одношарових алмазних бурових коронок.

Ключові слова: алмазні одношарові коронки, взаємодія з вибоєм свердловини.

The article reviews ways of refinement of the model of diamond cutter interaction with borehole bottom during operation of single-layer diamond drill bit.

Key words: single-layer diamond drill bit, interaction with borehole bottom.

Литература

1. Корнилов, Н. И., Буровой инструмент для геологоразведочных скважин: Справочник \ Н. И. Корнилов, Н. Н. Бухарев, А. Т. Киселев и др. Под ред. Н. И. Корнилова. – М.: Недра, 1990. – 395 с.
2. Чихоткин, В. Ф. Исследование техники и технологии бурения геолого-разведочных скважин и разработка нового поколения алмазного породоразрушающего инструмента / В. Ф. Чихоткин. – М. : ОАО «ВНИИОЭНГ», 1997. – 241 с.
3. Соловьев, Н. В. Ресурсосберегающая технология алмазного бурения в сложных геологических условиях / В. Ф. Чихоткин, Р. К. Богданов, А. П. Закора. – М. : ОАО «ВНИИОЭНГ», 1997. – 332 с.
4. Зыбинский, П. В. Сверхтвёрдые материалы в геологоразведочном бурении: Монография / Р. К. Богданов, А. П. Закора, А. М. Исонкин. – Донецк : Норд-Пресс, 2007. – 244 с.
5. Цыпин, Н. В. Износостойкость композиционных алмазосодержащих материалов для бурового инструмента / Н. В. Цыпин. – К. : Наук. думка, 1983. – 191 с.

Поступила 06.07.11

УДК 622.24

А. А. Каракозов, канд. техн. наук, С. Н. Парфенюк, инж.

Донецкий национальный технический университет, г. Донецк, Украина

О ВЛИЯНИИ ГИДРАВЛИЧЕСКИХ СОПРОТИВЛЕНИЙ НА ВПУСКНОМ КЛАПАНЕ НА РАБОЧИЙ ЦИКЛ ГИДРОУДАРНИКА ДВОЙНОГО ДЕЙСТВИЯ С ДИФФЕРЕНЦИАЛЬНЫМ ПОРШНЕМ

В статье представлены результаты аналитических и экспериментальных исследований влияния гидравлических сопротивлений на впускном клапане на параметры рабочего цикла гидроударников двойного действия с дифференциальным поршнем.

Ключевые слова: гидроударник, гидравлические сопротивления.

Гидроударники двойного действия с дифференциальным поршнем достаточно широко применяются как при бурении скважин, так и при ликвидации прихватов бурового снаряда [1 – 3].

При анализе рабочего цикла гидроударника двойного действия с дифференциальным поршнем при рассмотрении хода бойка вниз обычно считают, что давление в верхней и нижней полости цилиндра гидроударной машины равны между собой, т.е. пренебрегают потерями давления на впускном клапане [3 – 6]. Поэтому при создании практических конструкций гидроударников для